

## Cours de Traitement Du Signal - Transformées discrètes

guillaume.hiet@rennes.supelec.fr

ESTACA

17 octobre 2007



## Plan du cours

- 1 Transformée de Fourier Discrète (TFD)
- 2 Transformée de Fourier Rapide (FFT)
- 3 Fenêtres d'apodisation (de pondération)

## Introduction

### Problématique

- Mesurer le spectre d'un signal continu  $x(t)$  à partir de la suite d'échantillons du signal échantillonné  $x[n]$
- Observation finie  $\Rightarrow$  approximation de  $TF(x(t))$

### Hypothèses



- Choix de la fréquence d'échantillonnage respecte Shannon :  $f_e > 2.B$
- Effet du bloqueur négligé (échantillonnage parfait).
- Erreur liée à la quantification négligée.

## Transformée de Fourier d'un signal numérique

### Définition

$TF(x[n]) :$

$$X_{num}(\nu) = \sum_{n=-\infty}^{n=+\infty} x[n] e^{-j.2\pi.\nu.n}$$

### Remarques

- Conditions d'existence liées à la convergence de la série
- Fonction complexe périodique de période unité
- Lien avec le signal analogique échantillonné : changement variable  $\nu = \frac{f}{f_e}$
- Inadapté aux calculs numériques  $\Rightarrow$  intérêt théorique

## Définition

### Transformée de Fourier Discrète

- TFD d'ordre  $N : \forall k \in [0, N - 1]$

$$X_N[k] = \sum_{n=0}^{N-1} x[n] e^{-j2\pi \cdot k \cdot n / N}$$

- $N$  = nombre d'échantillons utilisés dans le calcul.
- Si  $N = 2^q \Rightarrow$  algorithme rapide (Fast Fourier Transform)

### Transformée de Fourier Discrète Inverse

$$x[n] = \frac{1}{N} \sum_{k=0}^{N-1} X_N[k] e^{j2\pi \cdot k \cdot n / N}$$

## Relation entre TFD et spectre de $x(t)$

### Discrétisation de la Transformée de Fourier

- La TFD peut être vue comme une discrétisation (échantillonnage) sur une période  $[0, f_e]$  de la transformée de Fourier du signal numérique observé sur une durée  $\tau = N \cdot T_e$  :

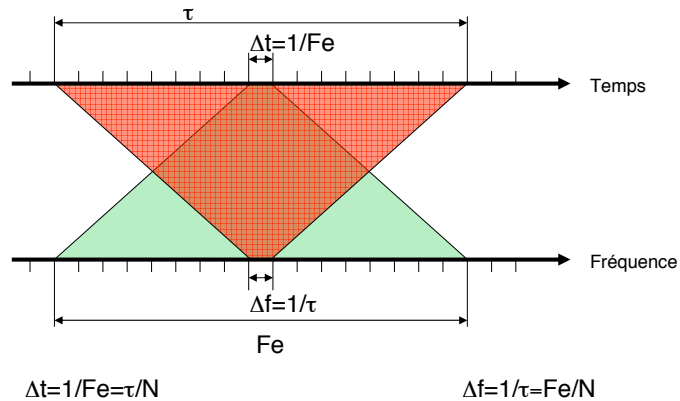
$$X_N[k] = X_{num/f} \left( \frac{k}{N} \right), \forall k \in [0, N - 1]$$

- Spectre discret adapté aux traitements numériques

### Caractérisation spectrale

- Spectre discret  $\Rightarrow$  caractérisation d'un signal périodique

## Dualité Temps/Fréquence



## Relation entre TFD et spectre de $x(t)$

### Périodisation du signal numérique

- On peut définir :  $\tilde{x}[n] = \sum_{p \in \mathbb{Z}} x[n - p \cdot N], n \in \mathbb{Z}$
- $\tilde{x}$  est la séquence obtenue par périodisation de  $x[n]$

### Application de la TFD

- Périodisation de  $X_N$  :

$$\tilde{X}_N = \sum_{p \in \mathbb{Z}} X_N[k - p \cdot N], k \in \mathbb{Z}$$

- Discrétisation de  $X_{num/f}(f)$  :

$$\tilde{X}_N = X_{num/f} \left( \frac{k}{N} \right), k \in \mathbb{Z}$$

## Relation entre TFD et spectre de $x(t)$

### Autre définition de la TFD

Lien entre  $\tilde{x}[n]$  et  $\tilde{X}_N[k]$  :

$$\tilde{X}_N[k] = \sum_{n=0}^{N-1} x[n] \cdot e^{-j \frac{2\pi \cdot k \cdot n}{N}}, k \in \mathbb{Z}$$

$$\tilde{x}[n] = \frac{1}{N} \sum_{k=0}^{N-1} X_N[k] \cdot e^{j \frac{2\pi \cdot k \cdot n}{N}}, n \in \mathbb{Z}$$

### Bilan

Liens entre  $\tilde{x}$ ,  $x$ , TF et TDF... (cf poly p. 59)

## Propriétés

- Linéarité :

$$TFD(\alpha \cdot x[n] + \beta \cdot y[n]) = \alpha \cdot TFD(x[n]) + \beta \cdot TFD(y[n])$$

- Conjugaison :  $TFD(\overline{x[n]}) = \overline{X_N[N - k]}$
  - Décalage temporel :  $TFD(x[n + n_0]) = X_N[k] \cdot e^{j \frac{2\pi \cdot n_0 \cdot k}{N}}$
  - Décalage fréquentiel :  $TFD^{-1}(X_N(k - k_0)) = x[n] \cdot e^{j \frac{2\pi \cdot k_0 \cdot n}{N}}$
  - Symétries : si  $x[n] \in \mathbb{R}$ 
    - $Re(X_N[k]) = Re(X_N[N - k])$
    - $Im(X_N[k]) = -Im(X_N[N - k])$
    - $|X_N[k]| = |X_N[N - k]|$
- lecture spectre sur zone utile  $[0, \frac{f_e}{2}] \leftrightarrow [0, \frac{N}{2}]$

### Décalage circulaire

Décalage circulaire d'une séquence (modulo N) :

$$x[\langle n - p \rangle_N] = \tilde{x}[n - p]$$

### Convolution circulaire

$$(u \odot v)[1] = \sum_{p=0}^{N-1} u[p] v[\langle 1 - p \rangle_N] = (\tilde{u} * \tilde{v})[1]$$

$$(u \odot v)[n] \xrightarrow{TFD} X_N[k] \cdot Y_N[k]$$

$$x[n] \cdot y[n] \xrightarrow{TFD} (X_N \odot Y_N)[k]$$

### Définition

- FFT = algorithme de calcul des TFD de rang  $N = 2^q$ .
- Utilisation du principe *diviser pour mieux régner* : limiter le nombre d'opérations (additions, multiplications).
- Algorithme de *COOLEY-TUKEY* strictement équivalent à la définition de la TFD.

### Description de la méthode

On pose :

$$X_N[k] = \sum_{n=0}^{N-1} x[n] \cdot W_N^{k \cdot n}, 0 \leq k \leq N - 1$$

avec

$$W_N = e^{-j \frac{2\pi}{N}}$$

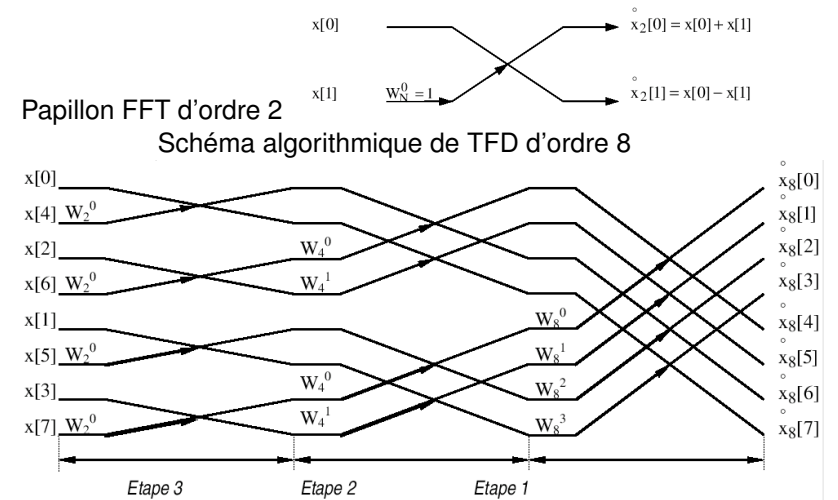
### Relation de récurrence

- Partitionnement de  $x[k]$  en  $a[p] = x[2.p]$  et  $b[p] = x[2.p + 1]$ ,  $0 \leq p \leq \frac{N}{2} - 1$
- Calcul de  $X_N$  en fonction de  $A_{N/2}$  et  $B_{N/2}$  :

$$X_N[k] = A_{N/2}[k] + W_N^k \cdot B_{N/2}[k], 0 \leq k \leq N - 1$$

### Utilisation de la périodicité

- $A_{N/2}$  et  $B_{N/2}$  sont périodiques de période  $\frac{N}{2}$
- $W_N^{k+\frac{N}{2}} = -W_N^k$ 
  - $X_N[k] = A_{N/2}[k] + W_N^k \cdot B_{N/2}[k], 0 \leq k \leq \frac{N}{2} - 1$
  - $X_N[\frac{N}{2} + k] = A_{N/2}[k] - W_N^k \cdot B_{N/2}[k], 0 \leq k \leq \frac{N}{2} - 1$



### Détermination de l'entrelacement

- Décomposition de l'indice de la séquence ordonnée :

$$n = \sum_{j=0}^{q-1} m_j \cdot 2^j = 2 \cdot (m_{q-1} \cdot 2^{q-2} + \dots + m_1) + m_0$$

- $m_0$  détermine la première partition. De même, chaque bit détermine les partitions successives
- Décomposition de l'indice de la séquence entrelacée :

$$i = m_0 \cdot 2^{q-1} + m_1 \cdot 2^{q-2} + \dots + m_{q-1} \cdot 2^0 = \sum_{j=0}^{q-1} m_{q-1-j} \cdot 2^j$$

- Renversement de l'ordre des bits.

### Influence sur le temps de calcul

#### FFT

- 1 multiplication et 2 additions complexes par papillon
- $\frac{N}{2}$  papillons par étape de récurrence
- $q = \log_2(N)$  étapes de récurrence
- Bilan :  $\frac{N}{2} \cdot \log_2(N)$  multiplications et  $N \cdot \log_2(N)$  additions

#### TFD directe

- $N^2$  multiplications complexes
- $N \cdot (N - 1)$  additions complexes
- Facteur de réduction du nombre de multiplications :

$$R = \frac{2 \cdot N}{\log_2(N)}$$

## Fenêtres d'apodisation (de pondération)

### Problématique

- Numérisation  $\Rightarrow$  multiplication par une fonction porte (domaine fréquentiel)
- Distorsion spectrale (convolution par un sinus cardinal) :
  - raie  $\Rightarrow$  lobe principal ( $2/T$ )
  - lobes secondaires
- Substitution de la fenêtre *porte* par d'autres fenêtres pour améliorer la lisibilité du spectre

### Propriétés

- $w[n] = 0, \forall n \notin [0, N - 1]$
- $x_w[n] = x[n] \cdot w[n]$
- $X_{wN}[k] = X_N[k] \odot W_N[k]$

### Performance/critères de choix

- Largeur de la fenêtre  $\Rightarrow$  résolution fréquentielle (pouvoir séparateur)
- Remontée des lobes secondaires  $\Rightarrow$  résolution en amplitude (pouvoir de détection)

### Remarques

- Toutes les fenêtres (sauf la fenêtre rectangulaire) modifient l'allure temporelle du signal.
- Fenêtre idéale : largeur de lobe principale nulle et pas de lobe secondaire
- Pas de solution *miracle*  $\Rightarrow$  choix en fonction des caractéristiques du signal

Illustration de la résolution fréquentielle des fenêtres : pouvoir séparateur

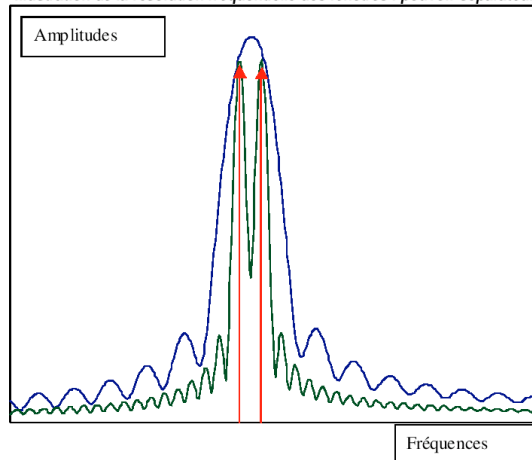
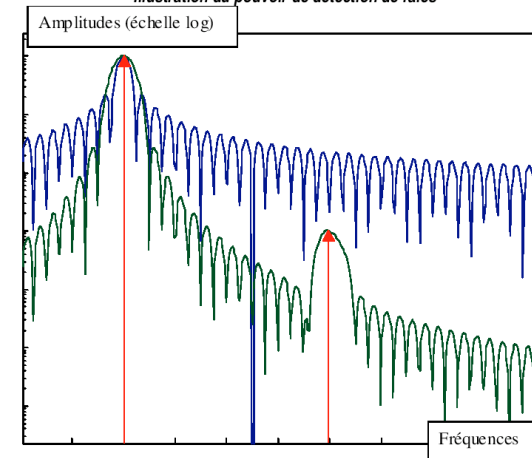
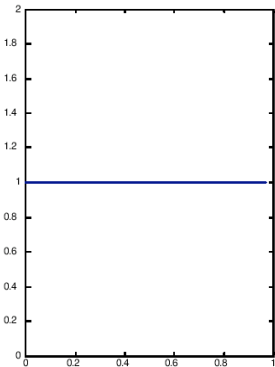


Illustration du pouvoir de détection de raies

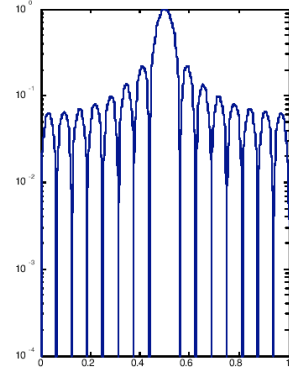


## Fenêtre rectangulaire

Représentation temporelle



Représentation fréquentielle



## Fenêtre rectangulaire

### Définition

$$w(t) = 1$$

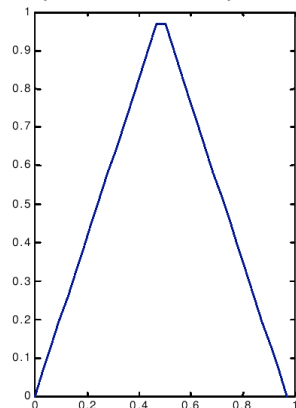
### Propriétés

- Largeur de lobe principal :  $\frac{2}{T}$
- Rapport d'atténuation :  $-30\text{dB}$
- Résolution fréquentielle moyenne
- Mauvaise résolution en amplitude
- 2 cas d'utilisations typiques :
  - Analyse des signaux périodiques de fréquence connue  $\Rightarrow$  choix de  $L$
  - Signaux d'excitation (chocs...)

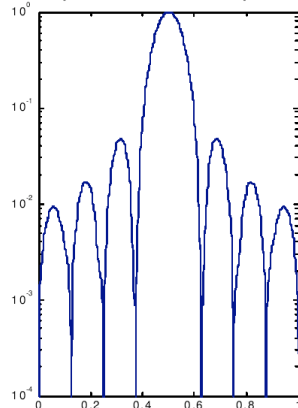


## Fenêtre triangulaire

Représentation temporelle



Représentation fréquentielle



## Fenêtre triangulaire

### Définition

$$w(t) = 1 - \frac{|t - \frac{T}{2}|}{\frac{T}{2}}$$

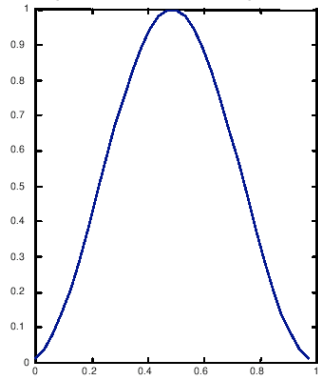
### Propriétés

- Largeur de lobe principal :  $\frac{4}{T}$
- Rapport d'atténuation :  $-61\text{dB}$
- Résolution fréquentielle moyenne
- Résolution en amplitude moyenne
- Peu de cas d'utilisations

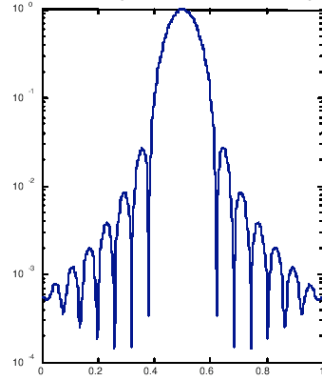


## Fenêtre hanning

Représentation temporelle



Représentation fréquentielle



Navigation icons

## Fenêtre hanning

### Définition

$$w(t) = 1 - \cos\left(\frac{2 \cdot \pi \cdot t}{T}\right)$$

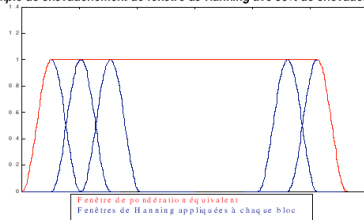
### Propriétés

- Largeur de lobe principal :  $\frac{4}{T}$
- Rapport d'atténuation :  $-73dB$
- Bonne résolution fréquentielle
- Bonne résolution en amplitude
- Cas d'utilisations typiques :
  - Fenêtre *par défaut* lorsque la fréquence des signaux n'est pas parfaitement connue
  - Analyse spectrale : utilisation du recouvrement

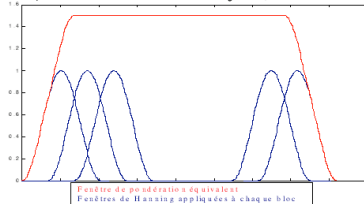
Navigation icons

## Fenêtre hanning avec recouvrement

Exemple de chevauchement de fenêtre de Hanning ave 50% de chevauchement



Exemple de chevauchement de fenêtre de Hanning ave 66,7% de chevauchement



Navigation icons

## Fenêtre hanning

### Définition

- Acquisition de plusieurs blocs successifs avec recouvrement.
- Traitement de chaque bloc par une fenêtre hanning simple.
- Durée d'acquisition :  $T = [(1 - Ch) \cdot (K - 1) + 1] \cdot N \cdot T_e$

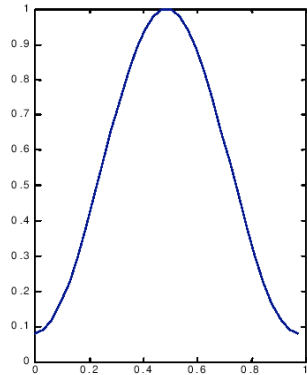
### Propriétés

- Faible distorsion
- Faible remontée des lobes secondaires
- Chevauchement judicieux : 50%, 67%...
- Utilisation en analyse spectrale : traitement des signaux aléatoires

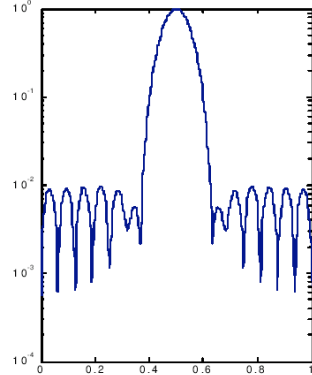
Navigation icons

## Fenêtre hamming

Représentation temporelle



Représentation fréquentielle



Navigation icons

## Fenêtre hamming

### Définition

$$w(t) = 0,54 - 0,46\cos\left(\frac{2\pi \cdot t}{T}\right)$$

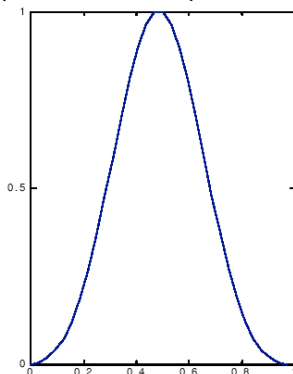
### Propriétés

- Largeur de lobe principal :  $\frac{4}{T}$
- Rapport d'atténuation :  $-93dB$
- Bonne résolution fréquentielle
- Bonne résolution en amplitude (meilleur que hanning pour des fréquences voisines)
- Cas d'utilisations typiques :
  - même utilisation que hanning
  - surtout pour séparer des fréquences proches

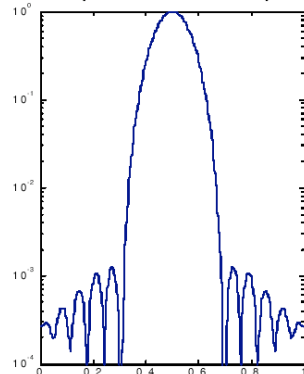
Navigation icons

## Fenêtre de Blackman

Représentation temporelle



Représentation fréquentielle



Navigation icons

## Fenêtre Blackman

### Définition

$$w(t) = 0,42 - 0,5\cos\left(\frac{2\pi \cdot t}{T}\right) + 0,08 \cdot \cos\left(\frac{4\pi \cdot t}{T}\right)$$

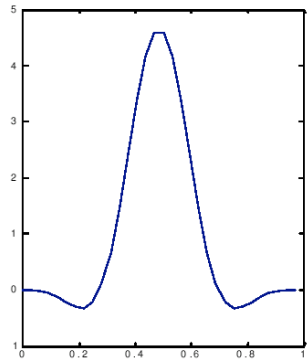
### Propriétés

- Largeur de lobe principal :  $\frac{6}{T}$
- Rapport d'atténuation :  $-134dB$
- Résolution fréquentielle moyenne
- Très bonne résolution en amplitude
- Cas d'utilisations typiques :
  - Compensation du pouvoir de séparation par la durée d'acquisition
  - Détection d'harmoniques de faible amplitude

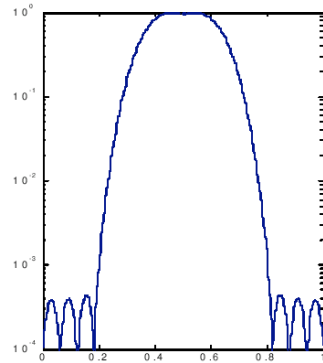
Navigation icons

## Fenêtre Flat-top

Représentation temporelle



Représentation fréquentielle



Navigation icons

## Fenêtre Flat-top

### Définition

$$w(t) = 1 - 1,93 \cdot \cos\left(\frac{2 \cdot \pi \cdot t}{T}\right) + 1,29 \cdot \cos\left(\frac{4 \cdot \pi \cdot t}{T}\right) - 0,388 \cdot \cos\left(\frac{6 \cdot \pi \cdot t}{T}\right)$$

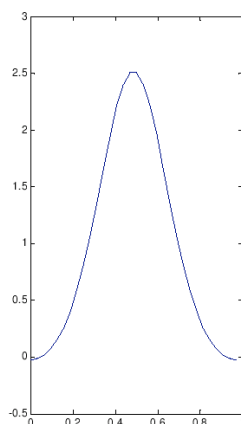
### Propriétés

- Largeur de lobe principal :  $\frac{10}{T}$
- Rapport d'atténuation :  $-155dB$
- Résolution fréquentielle moyenne (largeur du lobe principal)
- Excellente résolution en amplitude
- Utilisation pour étalonnage de capteur...

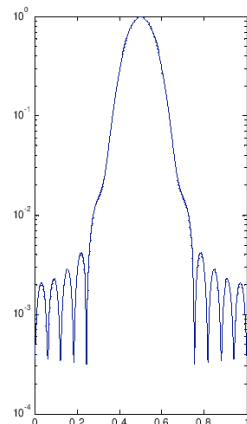
Navigation icons

## Fenêtre de Kaiser-Bessel

Représentation temporelle



Représentation fréquentielle



Navigation icons

## Fenêtre Kaiser-Bessel

### Définition

$$w(t) = 1 - 1,24 \cdot \cos\left(\frac{2 \cdot \pi \cdot t}{T}\right) + 1,244 \cdot \cos\left(\frac{4 \cdot \pi \cdot t}{T}\right) - 0,0305 \cdot \cos\left(\frac{6 \cdot \pi \cdot t}{T}\right)$$

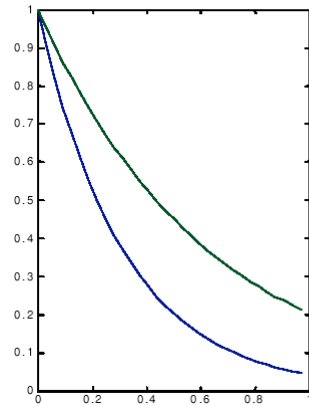
### Propriétés

- Largeur de lobe principal :  $\frac{8}{T}$
- Rapport d'atténuation :  $-110dB$
- Résolution fréquentielle moyenne (largeur du lobe principal)
- Bonne résolution en amplitude (meilleure que hanning..)
- Bon compromis
- Utilisation en analyse de machines tournantes

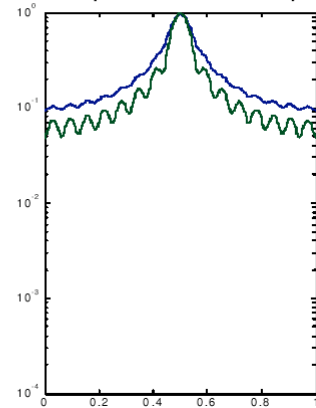
Navigation icons

## Fenêtre exponentielle

Représentation temporelle



Représentation fréquentielle



## Fenêtre exponentielle

### Définition

$$w(t) = e^{-\delta \cdot (t-t_0)}$$

### Propriétés

- Largeur de lobe principal :  $\frac{4}{T}$
- Rapport d'atténuation :  $-26dB$
- Utilisation pour étude des signaux pseudo-périodiques et à décroissance lente.